

石川高尙 正員○前川 幸次
金沢大学 正員 吉田 博

1. まえがき

近年、薄肉開断面曲線部材の有限変位理論に関する研究は、ひずみ・変位関係式を基礎とし、仮想仕事の原理を用いることにより、理論展開上もすっきりして部材の基礎方程式が厳密に導かれている。しかし、計算過程の複雑化は避けられず解析の困難さを感じる。一方、非弾塑性解析に関しては、非弾塑性域における材料剛性の明確な取扱い方はあまり論じられていないようである。本研究では、比較的簡単な、弾塑性解析を対象として基礎方程式を部材のつりあい条件式から導いた。数値解析方法として伝達マトリックス法を用い、計算例と実験値との比較によりその妥当性の検討を行なった。

2. 解析法

用いた仮定は、① 部材は一平面内に円曲線なし、曲率半径は断面寸法に比べて十分大きい。② 橫断面形は変形しない。③ 薄肉板厚方向の力学量の変化は無視する。④ 材料は完全弾塑性体とし、有効断面（全横断面から降伏部分を除外した断面）について基礎方程式を求める。ただし、分割要素（格間）において有効断面は変形しない。⑤ はりを構成する母線毎の曲率の違いは考えず、圓心を通る母線の曲率半径Rを用いる。

薄肉開断面曲線ばりの有限変位理論による基礎方程式を、遠田²⁾は変形を考慮した力のつりあい条件式から説明している。この方法は、③⑤の仮定を設けることで比較的簡単に定式化できる。本研究では、残留応力分布と、有効断面を考え弾塑性解析のための基礎方程式を拡張した。得られた基礎方程式を1階の連立常微分方程式系に変換すると、次式を得る。

$$dV/dS_0 = GV + IP \quad \dots (1)$$

$$V = \{ V, \Psi, B_x, V_y, w, \Omega, B_y, V_z, \Theta, \oplus, B_r, B_c, U, H \} \quad \dots (2)$$

ここに、 V は状態量ベクトルであり、変位、変形量、断面力は図-1のように、有効断面の圓心Sを原点とする主軸座標(x-y-z)に関するものである。なお、 B_r は曲げねじりモーメント、 Ψ 、 Ω 、 \oplus は次のように定義した。
 $\Psi = V' + U \cdot \cos \beta / (R - Y_s)$, $\Omega = \omega' - U \cdot \sin \beta / (R - Y_s)$

$$\oplus = \theta' + (V' \sin \beta + w' \cos \beta) / (R - Y_s) \quad \dots (3)$$

式(1)の G 、 P の具体的な内容は紙面の都合上、省略する。式(1)を曲線ばりの格間長 l について、Runge-Kutta法で数値積分を行なうと、格間化の左端の状態量ベクトル V_L^R を右端のそれ V_R^R に伝達する格間伝達マトリックス F を数値的に得る。

$$V_R^R = F V_L^R \quad \dots (4)$$

仮定④より、有効断面は格間内において変形しないとし、有効断面の決定は次のように行なう。格間要素を断面全体を板幅方向に微小分割し、それぞれの微小要素の圓心における垂直応力を次式で求める。

$$\sigma = E \cdot \left\{ U' - \Psi' \cdot y - \Omega' \cdot z - \oplus' \cdot V_s - \frac{(V - Z\theta) \cdot \cos \beta - (w + Y\theta) \sin \beta}{R} - \epsilon_f(y, z) \right\} \quad \dots (5)$$

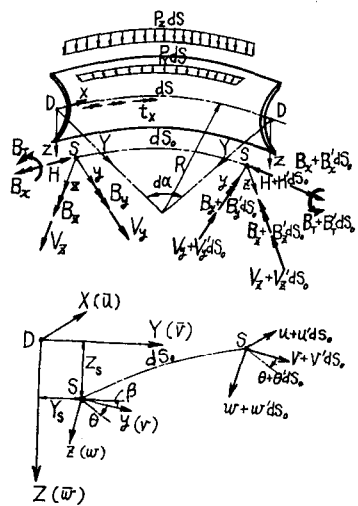


図-1

ここに、 y , z は有効断面の主軸座標による絶小要素回心の座標であり、 ψ_s は有効断面の回心 S に関する単位モリ根数、 $E_I(y, z)$ は残留ひずみであり圧縮を正とする。

式(5)に用いる変位、変位量は格間を左端と右端の状態ベクトル \mathbf{V}_L , \mathbf{V}_R の平均値として求めた。このようにして得られた垂直応力により、降伏判定を行ない、格間をの有効断面と、その主軸座標を決定する。断面定数は有効断面について計算され、例えば曲げ剛性は

$$EI_y = E \int_{F_e} z^2 dF, \quad EI_z = E \int_{F_e} y^2 dF \quad \dots \dots (6)$$

となり、ここに、 F_e は有効断面を表す。ただし、St.Venantのねじり定数については全断面有効として算定した。一方、降伏せん断間をの絶小断面要素は、各々(降伏応力 \times 絶小断面積)の垂直力を受けもつから、有効断面だけを考えた格間要素をの両端には、その垂直力に等しい抵抗力が作用すると考えることができる。同様に抵抗モーメントも考えられ、次式のように表わせる。

$$\Delta H_{el} = - \int_{F_p} \sigma_r \cdot \text{Sign}(\alpha) dF, \quad \Delta B_{y,r} = - \int_{F_p} \sigma_r \cdot \text{Sign}(\alpha) \cdot z dF \quad \dots \dots (7)$$

$$\Delta B_{z,r} = \int_{F_p} \sigma_r \cdot \text{Sign}(\alpha) \cdot y dF, \quad \Delta B_{T,r} = \int_{F_p} \sigma_r \cdot \text{Sign}(\alpha) \cdot \psi_s dF$$

ここに、 $\text{Sign}(\alpha)$ は式(5)の応力が引張のとき $+1$ 、圧縮のとき -1 である。また、抵抗せん断力、抵抗ねじりモーメントも考慮得るが、これらは微少量であり無視できる。このように格点で、左右の格間の有効断面が変化する場合、それらの影響を導入できる格点伝達マトリックスが必要である。変位、変形量の格点伝達方程式は、格点における断面上の任意点の変位の連続条件を用いて得られる。一方、式(7)の抵抗力を考慮して格点をの左側(l)と右側(r)に次のような断面力を：

$$\begin{aligned} \text{左側} & \{ B_{ze} + \Delta B_{ze}, V_{ye}, B_{ye} + \Delta B_{ye}, V_{ze}, B_{Te} + \Delta B_{Te}, \\ & B_{re}, H_e + \Delta H_e \} \end{aligned}$$

$$\begin{aligned} \text{右側} & \{ B_{zp} + \Delta B_{zp}, V_{yr}, B_{yr} + \Delta B_{yr}, V_{zr}, B_{Tr} + \Delta B_{Tr}, \\ & B_{xr}, H_r + \Delta H_r \} \end{aligned}$$

が作用するとして、仮想変位の原理を用いて断面力の格点伝達方程式が得られる。

3. 計算例

図-2, 3は福本ら¹⁾による実験値と本解析法による計算結果の比較である。計算は梁を8要素に分割し、断面を60分割したものについて、また、実験供試体で測定されたものに近似する。形状の残留応力を用いて行なった。荷重増分の大きさによると、変形が大きくなても変形形状をよく追従しているものと思われる。なお、図-2の場合、荷重増分を細かくしたにもかかわらずCPU-TIMEはFACOM-M160で約20分(大型計算機であれば約へんと思われる)であった。

- 1) 福本・西田：曲線工形梁の耐荷力実験、土木学会中部支部研究発表会講演概要集、1979年2月
- 2) 遠田：伝達マトリックス法による薄肉閉断面曲線ばねの有限要素理論の解析、土木学会論文報告集、NO.199
- 3) Lindner,J.: Näherungsweise Ermittlung der Traglasten von auf Biegung und Torsion beanspruchten I-Trägern. Die Bautechnik 5/1971

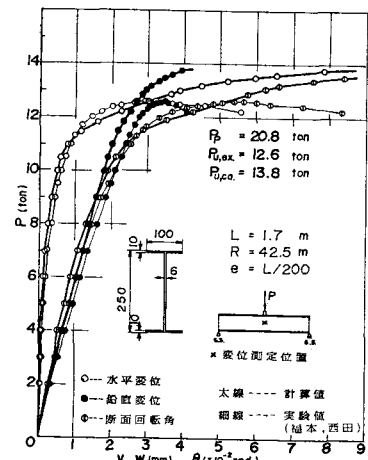


図-2

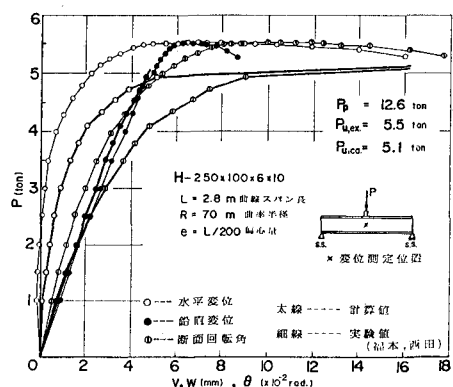


図-3